

Thermal treatment investigation of natural lizardite at the atmospheric pressure, based on XRD and DTA/TG analysis methods

R. Dabiri¹, B. Karimi Shahraki², H. Mollaei^{3*}, M. Ghaffari³

1- Science and Research Branch, Islamic Azad University, Tehran, Iran

2- Mineralogy Lab, Iran Mineral Processing Research Centre (IMPRC)

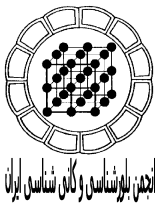
3-Department of Geology, Faculty of Sciences, Islamic Azad University-Mashhad Branch

(Received: 15/12/2008, in revised form: 25/5/2009)

Abstract: Determination of stability limits, mineralogical changes and thermal reaction of serpentine minerals are very important for the investigation of magmatism, mechanism and depth of plates of subduction. During the subduction process, serpentine (Lizardite) minerals will release their water due to thermal reactions. This dehydration can play an important role in volcanism processes related to the subduction. In this study, serpentine minerals (Lizardite) collected from the Neyriz Ophiolite Complex (NOC) were dehydrated under the constant atmospheric pressure. These mineralogical changes were determined by X-Ray diffraction and DTA-TG analyses methods. This study shows natural lizardites that heated for about one hour is stable up to 550°C. Dehydration reactions on lizardite started at approximately between 100 to 150°C and dehydroxilation reactions started at approximately 550-690°C. As a result of thermal reaction, the decomposition of lizardite will take place and then changes in to olivine (forsterite). Crystallization of olivine (forsterite) will start at 600°C. This mineral is stable up to 700°C and then crystallization of enstatite will start at 700°C. During this dehydration and crystallization reaction, amorphous processes will start at 600°C and some amount water and silica will release.

Keywords: *Lizardite, serpentine, thermal reaction, XRD, DTA-TG*

* Corresponding author, Tel.: +98 (0511) 8408008, Fax:+98 (0511) 8446361, E-mail: hamollai@yahoo.com



بررسی رفتار گرمایی لیزاردیت‌های طبیعی در فشار اتمسفری، بر اساس تجزیه دستگاهی DTA-TG و XRD

رحیم دبیری^۱، بهروز کریمی شهرکی^۲، حبیب ملاتی^{۳*}، میترا غفاری^۳

۱- دانشگاه آزاد اسلامی، واحد علوم و تحقیقات، تهران، ایران

۲- موسسه تحقیقات فرآوری مواد معدنی، کرج، ایران

۳- گروه زمین‌شناسی، دانشکده علوم، دانشگاه آزاد اسلامی مشهد

(دریافت مقاله: ۸۷/۹/۲۵، نسخه نهایی: ۸۸/۲/۶)

چکیده: تعیین میزان پایداری، تغییرات کانی‌شناسی و واکنش‌های گرمایی کانی‌های سرپانتین، می‌تواند در تعیین ساز و کار فرورانش، ماگماتیسیم و عمق صفحات فرورونده بسیار راهگشا باشد. طی فرایند فرورانش، واکنش‌های گرمایی، باعث آزاد شدن آب کانی‌های سرپانتینی می‌شود. این امر نقش به‌سزایی را در فرایندهای آتشفشانی وابسته به فرورانش ایفا می‌کند. در این کار پژوهشی، رفتار گرمایی و تغییرات کانی‌شناختی کانی لیزاردیت (سرپانتین)، وابسته به منطقه افیولیتی نیریز، در گستره‌های گرمایی متفاوت و در فشار جوی، با پراش پرتو X (XRD) و آنالیزهای DTA-TG، مورد بحث و بررسی قرار می‌گیرد. بررسی‌ها نشان داد که، واکنش‌های آبدایی (Dehydration) لیزاردیت‌های طبیعی، که به مدت یک ساعت، در دمای ۱۰۰ تا ۱۵۰ درجه سانتیگراد گرما گرفته‌اند، واکنش‌های هیدروکسیل زدایی (Dehydroxilation) آنها در گستره دمایی ۵۵۰ تا ۶۹۰ درجه سانتیگراد صورت می‌گیرد. لیزاردیت‌های طبیعی تا دمای ۵۵۰ درجه سانتیگراد پایدار بوده و در دمای ۶۰۰ درجه سانتیگراد به الیوین (فورستریت) تبدیل می‌شوند. همچنین در دمای ۷۰۰ درجه سانتیگراد، پیروکسن (انستاتیت) در نتیجه تجزیه لیزاردیت تشکیل می‌شود. بین واکنش‌های آب زدایی و تبلور، آمورف شدن، در دمای ۶۰۰ درجه سانتیگراد رخ داده و باعث تشکیل مقادیر اندکی آب و سیلیس آزاد شده است.

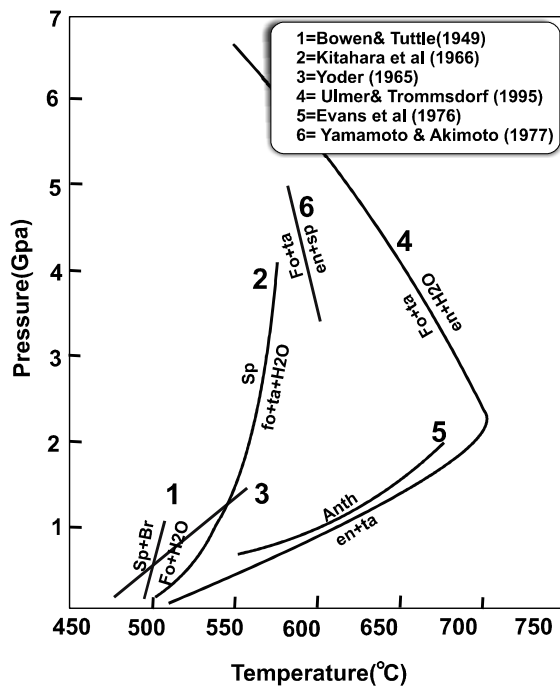
واژه‌های کلیدی: لیزاردیت، سرپانتین، رفتار گرمایی، DTA-TG، XRD

مقدمه

کانی‌ها، جزء فیلوسیلیکات‌های آبدار بوده و در ساختار خود حدود ۱۳٪ آب دارند. کانی‌های سرپانتین، در نتیجه آبدایی از الیوین، پیروکسن و کانی‌های سیلیکاتی دیگر غنی از منیزیم،

لیزاردیت، آنتیگوریت و کریزوتیل، سه چند ریخت مهم گروه سرپانتین، با فرمول عمومی $Mg_3Si_2O_5(OH)_4$ هستند. این

* نویسنده مسئول، تلفن: ۰۸۰۸۰۰۸ (۰۵۱۱) ۹۸+، نمابر: ۸۴۴۶۳۶۱ (۰۵۱۱) ۹۸+، پست الکترونیکی: hamollai@yahoo.com

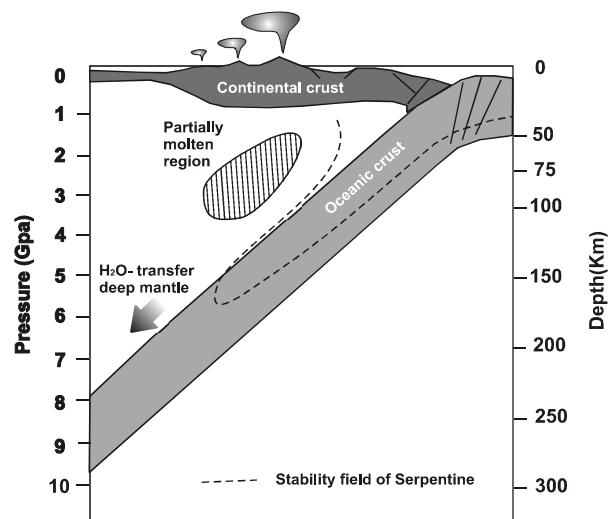


شکل ۲ گستره‌های پایداری تعیین شده برای کانی‌های گروه سرپانتین برگرفته از کارهای تجربی [۶].
(سرپانتین=Sp، بروسیت=Br، فورستریت=Fo، تالک=ta، انستاتیت=en، آنتوفیلیت=Anth).

روش کار

این کار پژوهشی شامل سه مرحله، سنگ‌شناختی، بررسی‌های XRD و DTA-TG است. کلیه آزمایش‌ها، در موسسه تحقیقات پیشرفته فرآوری مواد معدنی ایران^۲ (IMPRC)، که دارای گواهینامه مدیریت کیفیت ISO17025 است، صورت گرفته است. نمونه‌های سرپانتینیت، نخست به منظور تعیین پاراژنز کانایی و ویژگی‌های بافتی سنگ‌ها، مورد بررسی‌های سنگ‌شناختی قرار گرفتند. به منظور بررسی رفتار گرمایی، نمونه‌ها در شرایط فشار جو و به روش پراش پرتو X مورد بررسی قرار گرفتند. این کار در گستره $2\theta = 4 - 80^\circ$ و با دستگاه XRD Philips مدل XPert انجام پذیرفت. در ادامه تحت شرایط کنترل شده، پودرها با آب مقطر مخلوط شده و به تعلیق در آمدند. نمونه‌ها، پس از خشک شدن، به مدت یک ساعت، و در فشار جو، در کوره‌ای در دماهای ۲۵۰، ۴۰۰، ۵۵۰،

تشکیل می‌شوند. فرایندی که از آن با عنوان سرپانتینیت شدن^۱ یاد می‌شود. کانی‌های سرپانتین، در زون فرورانش و اعماق ۱۵۰ تا ۲۰۰ کیلومتری، آب موجود در ساختار بلوری خود را از دست می‌دهند (شکل ۱) [۱، ۲]. این آب، باعث ذوب بخشی سنگ‌ها، در اعماق ۱۰۰ تا ۱۳۰ کیلومتری و دمای ۱۳۰۰ درجه سانتیگراد شده و ماگماتیسم سری آهکی-قلیایی را در جزایر قوسی، موجب می‌شود [۳-۵]. لذا دانستن میزان پایداری، تغییرات کانی‌شناسی و واکنش‌های گرمایی کانی‌های سرپانتین، در تعیین ساز و کار فرورانش، ماگماتیسم و عمق صفحات فرورونده بسیار راهگشا خواهد بود. از جمله کارهای تجربی که برای تعیین میزان پایداری کانی‌های سرپانتین انجام گرفته، می‌توان به وندر و شریر [۶] اشاره کرد (شکل ۲). تولید و واپاشی سرپانتین، در فرایندهای چین‌خوردگی لبه‌های فرورونده زمین لرزه‌های عمیق نیز اخیراً مورد توجه برخی از پژوهشگران قرار گرفته است [۷، ۸]. به طور کلی هدف از این کار پژوهشی، بررسی رفتار گرمایی لیزاردیت‌های طبیعی در فشار جوی، بر اساس روش‌های سنگ‌شناختی، XRD، DTA، TG است. بدین منظور، نمونه‌هایی از سرپانتینیت‌های منطقه افیولیتی نیریز انتخاب شده و تغییرات آن‌ها مورد بررسی قرار گرفتند.



شکل ۱ تصویر نمادی از ساختار گرمایی در نواحی فرورانشی و میدان پایداری سرپانتین در کمان آتشفشانی. تصویر اقتباس از [۳۱].

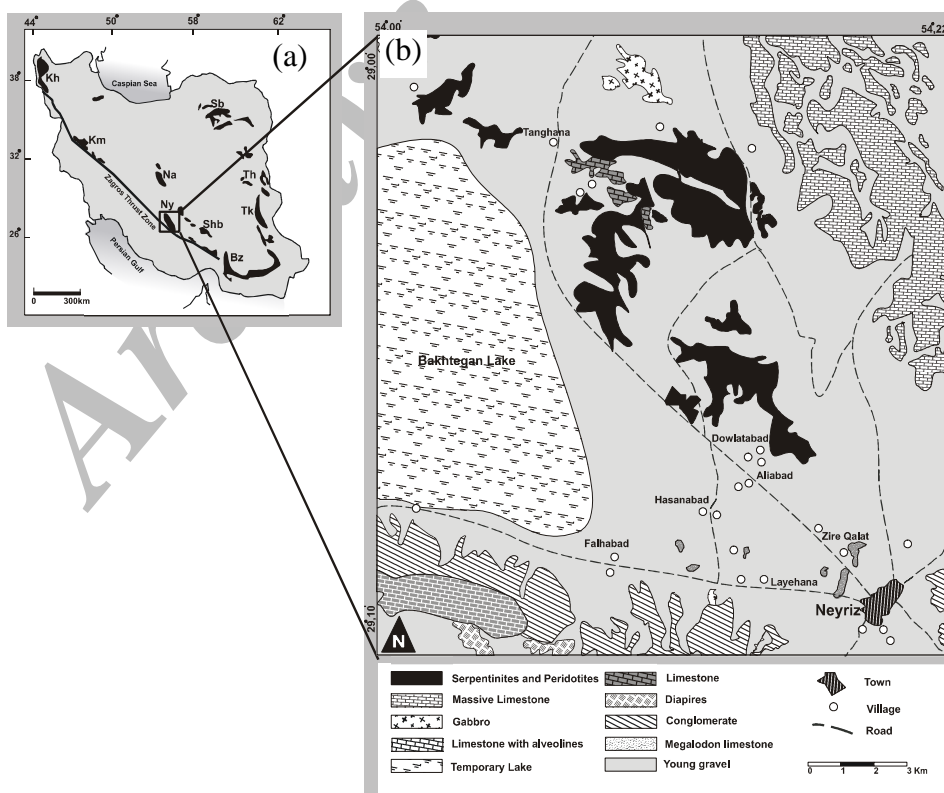
اشتوکلین برای آن نام نوار افیولیتی (Ophiolite Peri Arabe) نام داده است [۱۰، ۱۱]. ولی محوری بیرونی (Outer Axial Ophiolitic Belt) را انتخاب کرده است [۱۲]. افیولیت نیریز را می‌توان بخشی از گوشته بالایی و پوسته اقیانوسی نئوتتیس در نظر گرفت [۱۳]. بر اساس بررسی‌های سن سنجی Ar/Ar افیولیت‌های نیریز را به کرتاسه بالایی وابسته می‌دانند [۱۴، ۱۵]. بیشتر پژوهشگران [۱۶، ۱۷] فرورانش صفحه عربی به زیر ریز پهنه ایران مرکزی، در نتیجه بسته شدن اقیانوس نئوتتیس، را عامل جایگیری این افیولیت‌ها دانسته‌اند. براساس داده‌های ژئوشیمیایی نیز، سنگ‌های این منطقه، در گستره جزایر قوسی با ویژگی‌های سری آهکی - قلیایی قرار می‌گیرد، واقع می‌شود [۱۷]. سنگ‌های موجود در این همبافت، شامل پریدوتیت‌های سرپانتینی شده (از جمله هارزبورژیت، لرزولیت، دونیت و پیروکسنیت)، گابروهای لایه‌ای و توده‌ای، گدازه‌های بالشی و چرت‌های رادیولاریتی است [۱۸، ۱۹]. در مواردی نفوذ ماگماهای پریدوتیتی در دمای بالا، به درون آهک‌های بلورین، موجب اسکارن‌زایی در منطقه شده است [۲۰].

۶۰۰، ۶۵۰، ۷۰۰، ۷۵۰، ۸۵۰ و ۱۱۰۰ درجه سانتیگراد قرار گرفتند.

بررسی (DTA-TG Differential Thermal Analysis and Thermal Gravimetry Analysis) نمونه‌ها، به منظور آگاهی از چگونگی تبادل‌های فازی، به موازات افزایش دما و کاهش وزن ناشی از واکنش‌ها، با تجزیه کننده گرمایی STA 409 PC Luxx (NETZSCH) صورت گرفت. در طول آنالیزها، دما به طور پیوسته از ۲۰°C (دمای آزمایشگاه) تا ۱۱۰۰°C افزایش داده شد و نرخ افزایش دما ۲۰°C در دقیقه بوده و از ۱۰۰ میلی گرم نمونه برای آنالیزها استفاده شده است.

زمین‌شناسی منطقه مورد بررسی

افیولیت نیریز، بخشی از نوار افیولیتی، به طول تقریبی ۳۰۰ کیلومتر، است که به طور ناپیوسته از سوریه شروع و پس از گذر از جنوب ترکیه و زاگرس به عمان می‌رود (شکل ۳) [۹]. این نوار، که به صورت یک کمان در راستای راندگی‌های میان دو صفحه عربستان و صفحه ایران قرار دارد، به وسیله ریکو، بررسی و به آن هلال افیولیتی حاشیه عربستان (Croissant



شکل ۳ (a) نقشه پراکنده‌گی مجموعه افیولیتی و آمیزه‌های رنگین ایران (اقتباس از [۲۲]) و موقعیت منطقه مورد بررسی. اصلی‌ترین افیولیت‌های ایران عبارتند از: Ny = نیریز، Na = نائین، Shb = شهر بابک، Bz = بند زیارت، Kh = خوی، Sb = سبزوار، Tk = چهل کوه، Th = تربت حیدریه، Km = کرمانشاه. (b) نقشه زمین‌شناسی منطقه مورد بررسی و رخنمون سنگ‌های سرپانتینی در آن.

بررسی‌های سنگ شناختی

بررسی‌های سنگ‌شناختی نشان داد که، خاستگاه این نمونه سنگ‌های افیولیتی، هارزبورژیت است. این سنگ‌ها، به طور کامل سرپانتینی و به سنگ سرپانتینیت تبدیل شده‌اند. هارزبورژیت‌های سرپانتینی شده، منطقه‌ای به گستردگی ۵۵ کیلومتر مربع را می‌پوشانند. در این سنگ‌ها، پاراژنز کانیاپی سرپانتین ± تالک ± ماگنتیت، مشاهده می‌شود. کانی‌های فرومنیزین، همچون الیون (فورستریت) یا ارتو پروکسن (انستاتیت)، مشاهده نشدند. در مواردی، فقط قالبی از این کانی‌ها قابل تشخیص است، به طوری که، برخی از ارتوپروکسن‌ها دگرسان شده و فقط قالبی از آن‌ها باقی مانده است. بر اساس رده‌بندی اوهانلی و ویکس - ویتاکر و ویژگی‌های بافتی، سرپانتین‌های موجود از نوع لیزاردیت ± آنتیگوریت و رگه‌هایی از نوع کریزوتیل است (شکل ۴) [۲۱-۲۳].

واکنش‌های وابسته به تجزیه سرپانتین

با افزایش دما، میدان پایداری کانی‌های سرپانتین محدودتر می‌شود، به طوری که لیزاردیت و کریزوتیل تا رخساره شیب سبز بالای (۵۵۰°C) و آنتیگوریت تا رخساره آمفیبولیت میانی (۷۰۰°C) پایداری دارند [۲۴]. در اینجا لازم به یادآوری است که میزان پایداری لیزاردیت علاوه بر دما و فشار به دو عامل زمان و اندازه ذرات نیز بستگی دارد. بر اساس بررسی‌های [۲۶]، مشخص شد که لیزاردیت در دمای ۶۰۰°C (۸۷۳ کلوین) پس از ۲۷ دقیقه و در دمای ۷۰۰°C (۹۷۳ کلوین) پس از ۱۰ دقیقه دستخوش واپاشی می‌شود [۲۵].

تجزیه سرپانتین به الیون، پروکسن، تالک، کلریت و کانی‌های کم آب، فرایندی است که از آن به دسرپانتینیزاسیون

(Deserpentinization) یاد می‌شود. این فرایند می‌تواند در دما و فشارهای مختلف رخ دهد. تعادل‌های فازی وابسته به کانی‌های سرپانتین، در سیستم $MgO-SiO_2-H_2O$ ، توسط اوهانلی در سال ۱۹۹۲ بررسی شد [۲۶]. وی نشان داد که، کانی‌های سرپانتین، با افزایش دما، آب خود را از دست داده و به کانی‌هایی چون الیون، پروکسن، تالک و کلریت تبدیل می‌شوند. این واکنش‌ها گرماگیر بوده و مقادیری آب تولید خواهند کرد. روابط فازی لیزاردیت، آنتیگوریت، کریزوتیل، بروسیت، فورستریت، تالک، انستاتیت، آنتوفیلیت، کوارتز و آب، در دما و فشارهای مختلف، توسط برمن و همکاران (۱۹۸۶) مورد بررسی قرار گرفته است [۲۷]. بر این اساس، واکنش‌های زیر، در شرایط ترمودینامیکی پایدار، می‌توانند بوقوع به پیوندند [۲۸]:

کریزوتیل → لیزاردیت

(در دمای حدود ۱۸۰ درجه سانتیگراد)

بروسیت + کریزوتیل → لیزاردیت

(در دمای حدود ۲۲۰ درجه سانتیگراد)

بروسیت + آنتیگوریت → کریزوتیل

(در دمای حدود ۲۵۰ درجه سانتیگراد)

آب + فورستریت → بروسیت + آنتیگوریت

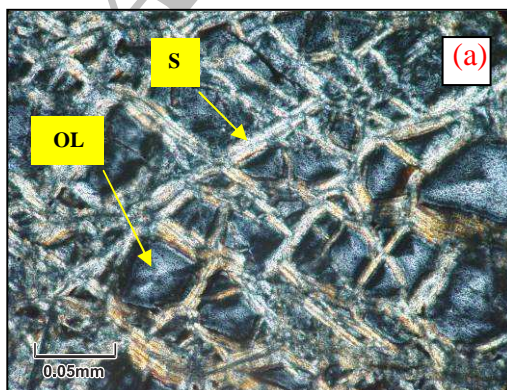
(در دمای حدود ۳۵۰ درجه سانتیگراد)

آب + فورستریت + شبه تالک → آنتیگوریت

(در دمای حدود ۵۵۰ درجه سانتیگراد)

انستاتیت + فورستریت → آب + فورستریت + شبه تالک

(در دمای حدود ۷۰۰ درجه سانتیگراد)



شکل ۴ تصویری از مقطع میکروسکوپی سرپانتینیت‌های نیریز با بافت غربالی (mesh-texture) و شبه ریختی‌هایی از الیون (OL) که فقط قالبی از آن باقی مانده و به سرپانتین (S) دگرسان شده‌اند. (تصویر (a) در نور XPL و تصویر (b) در نور PPL).

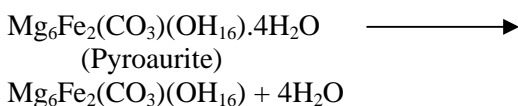
آنالیزهای پراش پرتو ایکس (XRD)

چنانکه اشاره شد، به منظور بررسی رفتار گرمایی و تغییرات فازی، نمونه‌ها در گستره‌های دمایی متفاوت، تا یک ساعت در شرایط جوی، گرما داده شدند. نخست روی نمونه‌های طبیعی وابسته به سرپانتینیت حاوی لیزاردیت، از مجموعه فیولیتی نیز، بررسی‌های XRD صورت گرفت. این بررسی‌ها نشان داد که، لیزاردیت مهمترین کانی تشکیل دهنده این سنگ‌هاست. علاوه بر آن، اندکی تالک آبدار بنام پیروآوریت، نیز با آن دیده می‌شود. به منظور بررسی تغییرات کانی‌شناسی ناشی از واکنش‌های گرمایی، بررسی‌های XRD روی نمونه‌های گرما دیده انجام شد. نتایج آنالیزها حکایت از آن دارد که، در دمای 250°C کانی تالک آبدار از بین می‌رود. در دماهای 400°C و 550°C درجه سانتیگراد، تغییرات کانی‌شناسی نداشته، ولی با افزایش دما از مقدار لیزاردیت کاسته می‌شود. تا اینکه، در دمای 600°C لیزاردیت کاملاً محو شده و دیگر آثاری از آن دیده نمی‌شود و الیون (فورستریت) از این دما شروع به تبلور می‌کند. در 650°C فورستریت همچنان به تبلور خود ادامه داده و در 700°C انستاتیت نیز شروع به ظهور می‌کند. در دماهای بالاتر، فورستریت و انستاتیت به همراه هم متبلور شده و مقدار آنها افزایش می‌یابد. بنابر نتایج بررسی‌ها، در 600°C آمورفی شدن قابل توجهی در نمونه‌ها دیده می‌شود (شکل ۵).

آنالیزهای DTA-TG:

بر اساس نتایج بررسی‌های DTA-TG، نمونه‌های لیزاردیت منطقه مورد بررسی، سه قله گرماگیر در دماهای 245°C ، 400°C و 690°C درجه سانتیگراد و یک قله گرمازا در دمای 810°C را نشان می‌دهند (شکل ۶). واکنش‌های گرمایی لیزاردیت با افزایش دما، گسترش می‌یابد. چنانکه در نمودارهای DTA و TG مشاهده می‌شود، از دمای 150°C آب آزاد و آب جذبی موجود در نمونه‌ها از بین رفته و نمونه‌ها دستخوش آبدایی^۳ می‌شوند. قله‌های گرماگیر در دماهای 245°C و 400°C درجه سانتیگراد را می‌توان به وجود کانی تالک آبدار (پیروآوریت) نسبت داد. بر اساس بررسی‌های فراست و اریکسون در سال 2004 کانی پیروآوریت در سه مرحله دستخوش واپاشی می‌شود [۲۹]. مرحله اول در گستره دمایی $150-0^{\circ}\text{C}$ درجه سانتیگراد، مرحله دوم در گستره دمایی $245-150^{\circ}\text{C}$ درجه

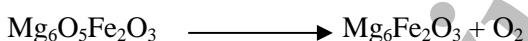
سانتیگراد و مرحله سوم در گستره دمایی $400-245^{\circ}\text{C}$ درجه سانتیگراد صورت می‌گیرد. این پژوهشگران مرحله اول را مرحله آبدایی، مرحله دوم را مرحله کربن زدایی و هیدرواکسیل زدایی و مرحله سوم را مرحله اکسیژن زدایی خوانده‌اند. لذا نمونه‌های مورد بررسی در مرحله اول (در دمای 150°C) بنابر واکنش زیر، آب جذبی را از دست داده و دستخوش آبدایی شده‌اند.



در مرحله دوم پیروآوریت موجود در نمونه‌های مورد بررسی دی اکسید کربن و آب خود را در دمای 245°C از دست داده و بنابر واکنش زیر دستخوش کربن زدایی و هیدرواکسل زدایی (از دست دادن آب ساختاری) شده است.

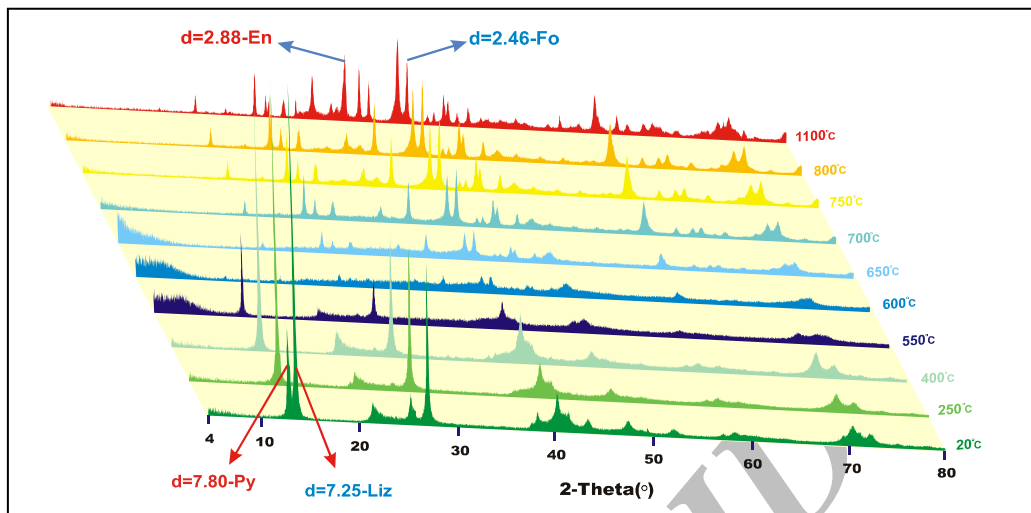


و در مرحله آخر بنا بر واکنش زیر (در دمای 400°C)، کانی پیروآوریت اکسیژن خود را نیز از دست داده و دستخوش اکسیژن زدایی شده است.

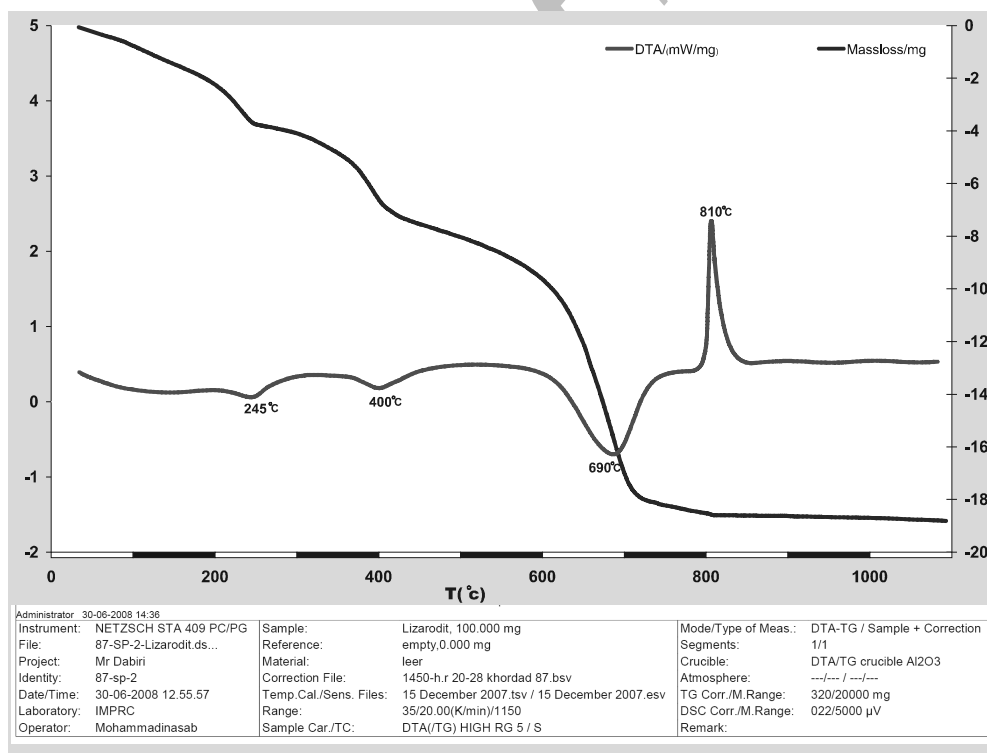


بر اساس نمودار TG می‌توان دریافت که، در این سه مرحله، نمونه ۷ درصد کاهش وزن پیدا کرده است.

چنانکه اشاره شد، یک قله گرماگیر در 690°C و یک قله گرمازا در دمای 810°C داریم. براساس نمودار DTA می‌توان دریافت که، در گستره دمایی 550°C تا 690°C واکنش‌های تجزیه لیزاردیت آغاز می‌شود. لیزاردیت ($\text{Mg}_3\text{Si}_2\text{O}_5(\text{OH})_4$) در نتیجه از دست دادن عامل (OH) خود، در دمای بیش از 600°C ، به فورستریت (Mg_2SiO_4) و در دمای حدود 700°C ، به انستاتیت (MgSiO_3) تبدیل می‌شود. نتایج XRD، نیز نشان می‌دهد که، لیزاردیت تا دمای 550°C مقاوم بوده و در دماهای بالاتر پایداری آن محدود شده و فورستریت و انستاتیت گسترش می‌یابند. اوج تبلور این دو کانی جدید با قله گرمازای 810°C ثبت شده است. تمامی تغییرات کانی‌شناسی که با بررسی‌های XRD انجام گرفته با آنالیزهای DTA همخوانی دارد. بر اساس نتایج آنالیزهای TG می‌توان دریافت که نمونه‌ها طی این واکنش‌ها، ۱۹ درصد کاهش وزن یافته‌اند.



شکل ۵ تصویر بلوک دیگرام XRD یک نمونه از لیزاردیت (نمونه SP-2) منطقه نیریز. در دماهای ۲۰، ۲۵۰، ۴۰۰، ۵۵۰، ۶۰۰، ۶۵۰، ۷۰۰، ۷۵۰، ۸۰۰ و ۱۱۰۰ درجه سانتیگراد و نتایج آنالیزهای آنها در دماهای یاد شده. (Liz=لیزاردیت، Py=Pyroaurite، Fo=فورستريت، En=انستاتیت).



شکل ۶ تصویر نمودارهای DTA-TG مربوط به یک نمونه از لیزاردیت منطقه نیریز (نمونه SP-2).

برداشت

نتیجه گرفت که لیزاردیت‌هایی که به مدت یک ساعت گرما دیده‌اند تا دمای 550°C هنوز پایداری داشته و از آن پس دستخوش تجزیه شده و نخست فورستريت و سپس انستاتیت تشکیل می‌شود. در زیر واکنش مربوط طی هیدروکسیل زدایی لیزاردیت ارائه شده است:

بر اساس نتایج XRD انجام شده در این بررسی معلوم شد که با افزایش دما به مرور از شدت قله‌ها در نمودارهای XRD کاسته می‌شود. به طوری که در دمای بیش از 550°C قله‌های مربوط به کانی لیزاردیت دیگر مشاهده نمی‌شوند. لذا می‌توان

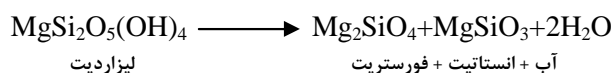
دمای 600°C رخ می‌دهد و موجب تشکیل مقادیر اندکی آب و سیلیس آزاد شده است. کانی‌های سرپانتین را می‌توان یکی از کانی‌های تأثیر گذار در ماگماتیسم ترشیری ایران دانست. زیرا گمان می‌رود، با فرورانش صفحه اقیانوسی نئوتتیس به زیر ریز پهنه ایران مرکزی، کانی‌های سرپانتین، دستخوش هیدروکسیل‌زدایی شده و مقادیر زیادی (13%) آب آزاد کرده باشند. آب ناشی از دسرپانتینی شدن، همراه با شاره‌های آزاد شده از ته نشستهای فرورانده شده، باعث کاهش دمای ذوب در شرایط گوشته بالایی شده و ذوب بخشی سنگ‌ها را فراهم آورده‌اند. سنگ‌های ذوب شده با نفوذ به سطوح بالاتر موجب ماگماتیسم و ایجاد کمان ماگمایی ارومیه- دختر در ایران شده‌اند.

قدردانی

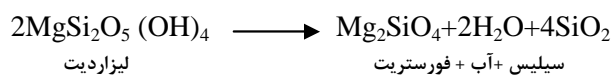
نویسندگان مقاله، نهایت سپاس و قدردانی خود را از نظرات علمی و ارزشمند، داوران محترم مقاله، ابراز می‌دارند. همچنین از جناب آقای مهندس شریف بدلیل حمایت‌های مادی و معنوی کمال تشکر را می‌نمایند.

مراجع

- [1] Abu El-Rus M.A., Neumann E.R., Peters V., "Serpentinization and dehydration in the upper mantle beneath Fuerteventura (eastern Canary Islands)", Evidence from mantle xenoliths; Lithos 89 (2006) 24-46.
- [2] Cerny p., "Comments on serpentinization and related metasomatism", The American Mineralogist, 53 (1968) 1377-1385.
- [3] Ohtani E., "Water in the Mantle", Elements 1 (2005) 25-30.
- [4] Pawley A.R., Holloway J.R., "Water Sources for Subduction Zone Volcanis", New Experimental Constraints. Science 260 (1993) 664-667.
- [5] Ulmer P., Trommsdorff V., "Serpentine stability to mantle depths and subduction-related magmatism", Science 268 (1995) 858-861.
- [6] Wunder B., Schreyer W., "Antigorite: Highpressure stability in the system MgO-SiO₂-H₂O (MSH)", Lithos 41 (1997) 213-227
- [7] Ruepke L., Phipps Morgan, J., Morra G., Regenauer-Lieb K., Connolly J., Hort M., "Modeling the role of serpentinization and



نتایج حاصل از بررسی‌های DTA نیز با نتایج آنالیزهای XRD همخوانی دارد. آنالیزهای DTA نشان می‌دهند که واکنش‌های هیدروکسیل‌زدایی لیزاردیت، از دمای 550°C شروع و تا دمای 690°C ادامه می‌یابد. بررسی‌های انجام شده با پرتو X نشان می‌دهد که در دمای بالاتر از 600°C فورستریت ظاهر شده و شروع به رشد می‌کند و در دمای 700°C انستاتیت نیز بدان می‌پیوندد. دمای 810°C که با قلّه گرمایی مشخص شده است، در واقع اوج واکنش‌های هیدروکسیل‌زدایی است. به عبارت دیگر در این دما تولید کانی‌های فورستریت و انستاتیت از رونق خاصی برخوردارند. به هر حال نتایج XRD دلالت بر این دارد که انستاتیت دیرتر از فورستریت تشکیل می‌شود (پس از 700°C). نتایج آنالیزهای XRD نشان می‌دهد که از دمای 550°C سانتیگراد و همزمان با واپاشی لیزاردیت، آمورفی شدن در نمونه دیده می‌شود که این امر در 600°C چشمگیرتر است. از دمای 650°C به بعد (همزمان با پیدایش فورستریت) آمورفی شدن با افزایش دما کاهش می‌یابد. به طوری که در بالاترین دما (1100°C) کمترین میزان آمورفی شدن و بیشترین شدت قلّه‌ها و بلورشدگی فورستریت و انستاتیت وجود دارد. آمورفی شدن فرایندی است که در نتیجه آزاد شدن سیلیس طی واکنش‌های گرمایی صورت می‌گیرد [30]. لذا بنابر واکنش زیر داریم:



به طور کلی بر اساس نتایج بررسی‌های DTA-TG، XRD بر روی کانی لیزاردیت می‌توان نتیجه گرفت که این کانی تا دمای 550°C پایدار بوده و واکنش‌های آب‌زدایی آن، از دمای 100 تا 150 درجه سانتیگراد و واکنش‌های هیدروکسیل‌زدایی آن، در گستره دمایی 550 تا 690 درجه سانتیگراد صورت می‌گیرد. در دمای 600°C الیون (فورستریت) و در دمای 700°C پیروکسن (انستاتیت) در نتیجه واپاشی لیزاردیت تشکیل می‌شوند. بین واکنش‌های آب‌زدایی و تبلور، آمورفی شدن در

- Kerman and Neyriz*", Journal of Asian Earth Sciences 24/4 (2005) 405-417.
- [17] Sheikholeslami M.R., Piqué A., Mobayen P., Sabzehei M., Bellon H., Emami M.H., "Tectono-metamorphic evolution of the Neyriz metamorphic complex, Quri-Kor-e-Sefid area (Sanandaj-Sirjan Zone, SW Iran)", Journal of Asian Earth Sciences 31/4-6 (2008) 504-521.
- [18] Babaie H.A., Ghazi A.M., Babaie A., La Tour T.E., Hassanipak A.A., "Geochemistry of arc volcanic rocks of the Zagros Crush Zone, Neyriz, Iran", Journal of Asian Earth Sciences 19/1-2 (2001) 61-76.
- [19] NADIMI A., "Microstructural analysis of plastic deformation of upper mantle and shear zones of the Neyriz ophiolite, southeastern Iran", MSc. Thesis, Shiraz University, Shiraz, Iran (1999).
- [20] NADIMI A., "Mantle flow patterns at the Neyriz paleospreading center, Iran", Earth and Planetary Science Letters 203 (2002) 93-104.
- [21] Hall R., "Contact metamorphism by an ophiolite peridotite from Neyriz, Iran", Science, 208/4449 (1980) 1259-1262.
- [22] O'Hanley D.S., "Serpentinities-Records of Tectonic and Petrological History", Oxford Monographs on Geology and Geophysics, 34 (1996) 277pp.
- [23] Wicks F.J., Whittaker E.J.W., "Serpentine textures and serpentinization", Canadian Mineralogist 15 (1977) 459-488.
- [24] O'Hanley D. S., "Fault-Related phenomena associated with hydration and serpentine recrystallization during serpentinization", Canadian Mineralogist 29 (1991) 21-35.
- [25] Bucher K., Frey M., "Petrogenesis of Metamorphic Rocks", sixth Edition (1994) 318 pp.
- [26] Frank M.R., Earnest D.J., Candela P.A., Wylie A.G., Wilmot M., Maglio S.J., "Experimental Study of the Thermal Decomposition of Lizardite up to 973 K", GSA Abstracts with Programs (2005).
- [27] Berman R.G., Engi M., Greenwood H.J., Brown T. H., "Derivation of internally consistent thermodynamic data by the technique of mathematical programming: a review with application to the system MgO-SiO₂-H₂O", J. Petrol. 27 (1986) 1331-1364.
- deserpentinization in bending and unbending slabs*", Geophysical Research Abstracts 5 (2003) 05421.
- [8] Jung H., Dobrzhinetskaya L. F., Green H. W., "Dehydration embrittlement of serpentine and its implications for earthquakes at depth", Geophysical Research Abstracts 5 (2003) 12702.
- [9] Sheikholeslami M.R., Bellon H., Emami H., Sabzehei M., Piqué A., "Nouvelles données structurales et datations ⁴⁰K-⁴⁰Ar sur les roches métamorphiques de la région de Neyriz (zone de Sanandaj-Sirjan, Iran méridional). Leur intérêt dans le cadre du domaine néo-téthysien du Moyen-Orient New structural and ⁴⁰K-⁴⁰Ar data for the metamorphic rocks in Neyriz area (Sanandaj-Sirjan Zone, Southern Iran). Their interest for an overview of the Neo-Tethyan domain in the Middle East", Comptes Rendus Geosciences 335(2003) 981-991.
- [10] RICOU L.E., "Le croissant ophiolitique periarabe, une ceinture de nappes mises en place au Crétacé supérieur", Rev. Geol. Phys. Geol. Dyn. 13/4 (1971) 327-350
- [11] Ricou L.E., "Evolution structurale des Zagrides: la région clef de Neyriz (Zagros Iranien)", Memoir de la Societe Geologique de France, Nouvelle serie (40) 125 (1976) 140pp.
- [12] Stocklin J., "Structural correlation of the Alpine ranges between Iran and central Asia", Societe Geologique de France Memoire Hors-Serie, 8 (1977) 333-353.
- [13] Sarkarinejad Kh., "Structures and microstructures related to steady-state mantle flow in the Neyriz ophiolite, Iran", Journal of Asian Earth Sciences 25/6 (2005) 859-881
- [14] Babaie H. A., Ghazi M., Babaie A., Duncan R., Mahoney J., Hassanipak A.A., "New Ar-Ar age, isotopic, and geochemical data for basalts in the Neyriz ophiolite, Iran", Geophysical Research Abstracts, European Geophysical Society 5 (2003) 12899.
- [15] Lanphere M.A., Pamić J., "⁴⁰Ar/⁴⁰Ar Ages and tectonic setting of ophiolite from the Neyriz area, southeast Zagros Range, Iran", Tectonophysics 96/3-4 (1983) 245-256.
- [16] Shahabpour J., "Tectonic evolution of the orogenic belt in the region located between

- [31] Fumagalli P., Poli S., "Experimentally Determined Phase Relations in Hydrous Peridotites to 6.5 GPa and Their Consequences on the Dynamics of Subduction Zones", *Journal of Petrology* 46 (2005) 555-578.
- [32] Emami M.H., Sadegi M.M., Omrani S.J., "Magmatic map of Iran, Scale 1/1,000,000", Geological Survey of Iran, (1993).
- [28] Skelton A., Jakobsson M., "Could peridotite hydration reactions have provided a contributory driving force for Cenozoic uplift and accelerated subsidence along the margins of the North Atlantic and Labrador Sea? Norwegian", *Journal of Geology* 87 (2007) 241-248.
- [29] Frost Ray L., Erickson Kristy L., "Thermal decomposition of synthetic hydrotalcites reevesite and pyroaurite", *Journal of Thermal Analysis and Calorimetry* 76/1 (2004) 217-225.
- [30] Irifune T., Kuroda K., Funamori N., Uchida T., Takehito Y., Inoue T., Miyajima N., "Amorphization of serpentine at high pressure and high temperature", *Science* 272 (1996) 1468-1470.

Archive of SID